

Классификация матриц склейки на круговых молекулах точек типа центр-центр

А. И. ЖИЛА

Московский государственный университет
им. М. В. Ломоносова
e-mail: saffeya@yandex.ru

УДК 515.162

Ключевые слова: интегрируемые гамильтоновы системы, слоение Лиувилля, инварианты Фоменко—Цишанга, точки типа центр-центр.

Аннотация

В теории топологических инвариантов Фоменко—Цишанга для точек типа центр-центр r -метка на круговой молекуле всегда равна 0. Про ε -метку известно, что она зависит от ориентации многообразия Q^3 , ориентации критических окружностей дополнительного интеграла F интегрируемой системы и ориентации рёбер молекулы. В данной работе рассмотрен способ явного задания ориентации базисных циклов и найдены матрицы склейки на круговых молекулах точек типа центр-центр в зависимости от расположения дуг бифуркационной диаграммы.

Abstract

A. I. Zhila, Classification of the gluing matrices on the loop molecules of the points of centre-centre type, Fundamentalnaya i prikladnaya matematika, vol. 22 (2019), no. 6, pp. 85–94.

The Fomenko–Zieschang theory of topological invariants says that the mark r is zero for the points of centre-centre type. The mark ε is known to be dependent on the orientation of the Q^3 manifold, the orientation of the critical circumferences of the Liouville system's additional integral F , and the orientation of the molecule's ribs. This article investigates the method of the explicit setting of the basis cycles' orientation and suggests a way of finding the gluing matrices on the loop molecules of the points of centre-centre type depending on the allocation of the arcs of the bifurcation diagram.

1. Введение

Исследования в области механики твёрдого тела включают в себя изучение топологии фазового пространства интегрируемых систем, классификацию особенностей, построение бифуркационных диаграмм и определение типов бифуркаций, вычисление глобальных и локальных инвариантов слоения Лиувилля, траекторных инвариантов. С помощью топологических инвариантов можно выявлять эквивалентные и неэквивалентные интегрируемые системы. Все

исследования проводятся в рамках теории Фоменко—Цишанга классификации интегрируемых систем, основанной на инвариантах Фоменко (называемых грубыми молекулами) и инвариантах Фоменко—Цишанга (называемых мечеными молекулами), использующих бифуркационные комплексы (подробности см. в [1, 3–5]).

Одним из способов построения меченой молекулы произвольной допустимой кривой является извлечение информации о метках и базисных циклах из круговых молекул особых точек (про круговые молекулы подробнее см. [2]). Особые точки типа центр-центр встречаются почти в каждой интегрируемой системе, но, тем не менее, на данный момент точно известны только r -метки на их круговых молекулах. В данной работе вычислены различные матрицы склейки в случае точек типа центр-центр, на основе которых в дальнейшем можно будет вычислять ε -метки произвольных молекул.

2. Базисные циклы и правила задания ориентации

Круговая молекула для точки типа центр-центр имеет вид A - A . Мы хотим явно построить базисные циклы и выписать соответствующие матрицы склейки для торов, лежащих в прообразе точек допустимой кривой, соединяющей дуги бифуркационной диаграммы, отвечающие перестройкам типа A .

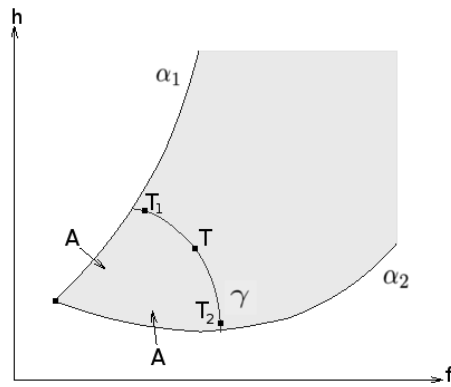


Рис. 1. Допустимая кривая γ

Пусть кривые α_1 и α_2 на бифуркационной диаграмме, каждая из которых отвечает перестройкам типа A , пересекаются в точке, прообраз которой содержит точку ранга 0 типа центр-центр (рис. 1). Проведём допустимую кривую γ и рассмотрим тор T , лежащий в прообразе одной из её точек. На этот тор приходят базисные циклы с торов T_1 и T_2 , расположенных около кривых α_1 и α_2 :

$$A_{\alpha_1} \rightarrow (\lambda_{\alpha_1}, \mu_{\alpha_1}), \quad A_{\alpha_2} \rightarrow (\lambda_{\alpha_2}, \mu_{\alpha_2}).$$

Эти циклы $\lambda_{\alpha_i}, \mu_{\alpha_i}$ выбираются на торах T_1 и T_2 так, чтобы были выполнены следующие условия:

- 1) направление цикла μ_{α_i} совпадает с направлением $\text{sgrad } H$ на соответствующей критической окружности;
- 2) цикл λ_{α_i} стягивается в точку при приближении к соответствующей дуге α_i ,
- 3) пара циклов $(\lambda_{\alpha_i}, \mu_{\alpha_i})$ положительно ориентирована на торе T_i .

Рассматривая пары циклов $(\lambda_{\alpha_1}, \mu_{\alpha_1})$ и $(\lambda_{\alpha_2}, \mu_{\alpha_2})$, приходящие на тор T с торов T_1 и T_2 соответственно, как базисы в группе одномерных гомологий, мы получаем матрицу склейки:

$$C = \begin{pmatrix} \alpha & \beta \\ \gamma & \delta \end{pmatrix}, \quad \text{где} \quad \begin{pmatrix} \lambda_{\alpha_1} \\ \mu_{\alpha_1} \end{pmatrix} = \begin{pmatrix} \alpha & \beta \\ \gamma & \delta \end{pmatrix} \begin{pmatrix} \lambda_{\alpha_2} \\ \mu_{\alpha_2} \end{pmatrix}.$$

Как указано выше, на граничном торе полнотория в качестве первого базисного цикла λ берётся меридиан полнотория, т. е. цикл, стягивающийся в точку внутри полнотория, а в качестве второго цикла μ — произвольный цикл, дополняющий λ до базиса. Ориентация цикла μ задаётся потоком $\text{sgrad } H$, после чего ориентация цикла λ однозначно определяется ориентацией на граничном торе. Зафиксируем правила, с помощью которых мы будем задавать ориентацию на граничном торе полнотория.

Пусть H — гамильтониан, а F — дополнительный интеграл гамильтоновой системы на симплектическом многообразии M^4 . Рассмотрим отображение момента

$$\mathcal{F} = H \times F: M^4 \rightarrow \mathbb{R}^2(h, f).$$

Образ отображения момента в окрестности точки типа центр-центр на плоскости $\mathbb{R}^2(h, f)$ выглядит как «угол», ограниченный двумя дугами бифуркационной диаграммы (см. рис. 1). Прообраз кривой γ с концами на этих дугах является трёхмерным многообразием $Q_\gamma^3 = \{x \in M^4 \mid \mathcal{F}(x) \in \gamma\}$, гомеоморфным трёхмерной сфере S^3 . При этом прообразами концов кривой γ являются критические окружности (на которых $\text{sgrad } H$ и $\text{sgrad } F$ зависимы), а прообразами внутренних точек кривой — торы Лиувилля. Любой такой тор T^2 разбивает Q_γ^3 на два полнотория, т. е. является граничным тором для каждого из них. Ориентация на торе T^2 зависит от того, для какого из двух полноторий мы рассматриваем его как граничный тор, и определяется следующим образом.

1. На симплектическом многообразии M^4 ориентация задана формой $\omega \wedge \omega$.
2. Ориентация на многообразии Q_γ^3 задаётся нормалью к Q_γ^3 в M^4 , т. е. тройка векторов e_1, e_2, e_3 в касательном пространстве к Q_γ^3 будет положительно ориентирована, если четвёрка векторов e_1, e_2, e_3, \bar{n} положительно ориентирована в M^4 . При этом нормаль \bar{n} будем выбирать так, чтобы при отображении момента она переходила в нормаль к кривой γ , направленную во внешнюю сторону по отношению к треугольнику, образованному двумя дугами бифуркационной диаграммы и кривой γ .

3. Ориентация на торе $T^2 \subset Q_\gamma^3$ задаётся нормалью \bar{N} к тору T^2 в Q_γ^3 , т. е. пара векторов e_1, e_2 в касательном пространстве к T^2 будет положительно ориентирована, если тройка векторов e_1, e_2, \bar{N} положительно ориентирована в Q_γ^3 . При этом нормаль \bar{N} будем выбирать так, чтобы она была внешней нормалью для полнотория, граничным тором которого является рассматриваемый тор T^2 .

Итог: положительная ориентированность пары векторов e_1, e_2 на торе T^2 задаётся условием

$$\omega \wedge \omega(e_1, e_2, \bar{N}, \bar{n}) > 0. \quad (1)$$

Отметим, что в случае, когда кривая γ задана уравнением $H = \text{const}$ (в этом случае Q_γ^3 называется изоэнергетической поверхностью) в качестве нормалей \bar{n} и \bar{N} можно брать $\pm \text{grad } H$ и $\pm \text{grad } F$ соответственно.

3. Классификация круговых молекул точек типа центр-центр

Пусть $P \in M^4$ — особая точка типа центр-центр. Тогда образ окрестности точки P при отображении момента $\mathcal{F} = H \times F$ есть часть плоскости $\mathbb{R}^2(h, f)$, ограниченная дугами бифуркационных кривых α и δ , выходящими из точки $\mathcal{F}(P) = (H(P), F(P))$. Мы хотим описать базисные циклы и матрицы склейки для кривых γ с концами на дугах α и δ (см. рис. 1). Это даст нам возможность по виду дуг α и δ легко определять ε -метку в дальнейшем.

Если мы заменим гамильтониан H и интеграл F на функции $\tilde{H} = \tilde{h}(H, F)$ и $\tilde{F} = \tilde{f}(H, F)$, то для новой интегрируемой системы с гамильтонианом \tilde{H} и интегралом \tilde{F} критические точки (где гамильтониан и интеграл зависимы) не изменятся, а дуги α и δ бифуркационной диаграммы перейдут в новые дуги $\tilde{\alpha}$ и $\tilde{\delta}$ под действием диффеоморфизма $(h, f) \rightarrow (\tilde{h}(h, f), \tilde{f}(h, f))$. Действуя таким образом, можно менять вид дуг α и δ . Для простоты будем считать, что образ точки P при этом диффеоморфизме не меняется, т. е. все дуги (старые и новые) выходят из одной и той же точки $(H(P), F(P)) = (\tilde{H}(P), \tilde{F}(P))$.

Для любой критической окружности S^1 , лежащей в прообразе некоторой точки дуги α или дуги δ , во всех её точках $\text{sgrad } H$ и $\text{sgrad } \tilde{H}$ будут пропорциональны. Так как ориентация на цикле μ определяется направлением $\text{sgrad } H$ на критической окружности, то для того чтобы понять, как изменится матрица склейки при замене H и F на \tilde{H} и \tilde{F} , нужно знать знак коэффициента пропорциональности между $\text{sgrad } H$ и $\text{sgrad } \tilde{H}$.

Лемма 1. Пусть $\alpha(t) = (h(t), f(t))$ — одна из дуг бифуркационной диаграммы, выходящая из точки типа центр-центр, для системы с гамильтонианом H и интегралом F , $\tilde{\alpha}(t) = (\tilde{h}(h(t), f(t)), \tilde{f}(h(t), f(t)))$ — соответствующая ей дуга бифуркационной диаграммы для системы с гамильтонианом $\tilde{H} = \tilde{h}(H, F)$ и

интегралом $\tilde{F} = \tilde{f}(H, F)$. Тогда в точках критической окружности, лежащей в прообразе точки $\alpha(t)$,

$$\text{sgrad } \tilde{H} = \frac{d\tilde{h}/dt}{dh/dt} \text{sgrad } H.$$

Доказательство. Пусть $\beta(t)$ — кривая в M^4 , образ которой при отображении момента \mathcal{F} — бифуркационная кривая $\alpha(t)$. Тогда

$$\frac{dh}{dt} = \frac{d}{dt} (H(\beta(t))) = dH \left(\frac{d\beta}{dt} \right).$$

Аналогично для функции \tilde{H}

$$\frac{d\tilde{h}}{dt} = \frac{d}{dt} (\tilde{H}(\beta(t))) = d\tilde{H} \left(\frac{d\beta}{dt} \right).$$

Если $\text{sgrad } \tilde{H} = k \cdot \text{sgrad } H$, то $d\tilde{H} = k \cdot dH$, а значит,

$$\frac{d\tilde{h}}{dt} = k \cdot \frac{dh}{dt}. \quad \square$$

Из леммы 1 следует, что направления потоков $\text{sgrad } H$ и $\text{sgrad } \tilde{H}$ на критических окружностях, лежащих в прообразе бифуркационной кривой в малой окрестности точки P типа центр-центр, одинаковы, если векторы скорости кривых α и $\tilde{\alpha}$ в точке $\mathcal{F}(P) = (H(P), F(P))$ лежат в одной и той же полуплоскости с границей $h = H(P)$. И наоборот, направления потоков $\text{sgrad } H$ и $\text{sgrad } \tilde{H}$ противоположны, если эти векторы лежат в разных полуплоскостях. Отметим, что мы не рассматриваем случай, когда вектор скорости бифуркационной кривой в точке $\mathcal{F}(P)$ перпендикулярен оси h , так как в этом случае вектор $\text{sgrad } H$ может быть нулевым, что не позволяет применить правило для ориентации цикла μ .

Ясно, что, применяя подходящий диффеоморфизм $(h, f) \rightarrow (\tilde{h}(h, f), \tilde{f}(h, f))$, мы можем «выпрямить» дуги α и δ , т. е. заменить функции H и F на такие функции \tilde{H} и \tilde{F} , что бифуркационная диаграмма в окрестности точки $\mathcal{F}(P)$ будет выглядеть как пара лучей с теми же касательными векторами в точке $\mathcal{F}(P)$. Дифференциал такого диффеоморфизма будет тождественным в точке $\mathcal{F}(P)$, т. е. направления потока $\text{sgrad } H$ на критических окружностях не поменяется.

Более того, можно считать, что в некоторых симплектических координатах (q_1, q_2, p_1, p_2)

$$H = \frac{1}{2}(a(p_2^2 + q_2^2) + k(p_1^2 + q_1^2)), \quad F = \frac{1}{2}(b(p_1^2 + q_1^2) + m(p_2^2 + q_2^2)), \quad (2)$$

где $a, b = \pm 1$ и $k \neq 0$. Тогда

$$\text{sgrad } H = (kp_1, ap_2, -kq_1, -aq_2), \quad \text{sgrad } F = (bp_1, mp_2, -bq_1, -mq_2), \quad (3)$$

а множество особых точек системы задаётся либо условием $p_1 = q_1 = 0$, либо условием $p_2 = q_2 = 0$. Получаем, что луч δ задаётся условиями $f = amh$, $2ah \geq 0$ и в прообразах его точек лежат окружности $\{p_1 = q_1 = 0, p_2^2 + q_2^2 = 2ah\}$, а луч α задаётся условиями $h = bkf$, $bf \geq 0$ и в прообразах его точек лежат окружности $\{p_2 = q_2 = 0, p_1^2 + q_1^2 = 2bf\}$.

Расположение лучей α и δ зависит от знаков констант a, b, k, m . Рассмотрим один из возможных случаев: $a = b = 1, m = 0, k > 0$.

Лемма 2. Для системы с гамильтонианом

$$H = \frac{1}{2}(p_2^2 + q_2^2 + k(p_1^2 + q_1^2)),$$

где $k > 0$, и интегралом

$$F = \frac{1}{2}(p_1^2 + q_1^2)$$

матрица склейки на ребре A - A круговой молекулы особой точки $P = (0, 0, 0, 0)$ имеет вид

$$\begin{pmatrix} 0 & -1 \\ -1 & 0 \end{pmatrix}$$

(при некотором выборе базисных циклов). В частности, ε -метка равна -1 .

Доказательство. Опишем явное построение базисных циклов $\lambda_\alpha, \mu_\alpha, \lambda_\delta, \mu_\delta$.

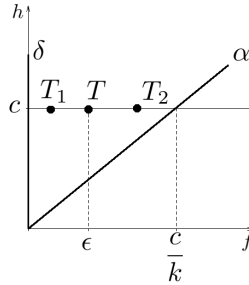


Рис. 2. Случай $a = b = 1, m = 0, k > 0$

1. Для рассматриваемых гамильтониана H и интеграла F луч δ задаётся условиями $f = 0, h \geq 0$, а луч α — условиями $h = kf, f \geq 0$. Рассмотрим в качестве кривой γ , соединяющей лучи α и δ , отрезок $\{h = c, 0 \leq f \leq c/k\}$ и соответствующее многообразие Q_γ^3 . Для каждого тора Лиувилля $T = \{h = c, f = \varepsilon\} \subset Q_\gamma^3$ со стороны луча δ на него приходят циклы $(\lambda_\delta, \mu_\delta)$ с тора T_1 , а со стороны прямой α — циклы $(\lambda_\alpha, \mu_\alpha)$ с тора T_2 (рис. 2). В симплектических координатах (q_1, q_2, p_1, p_2) тор T можно запараметризовать следующим образом:

$$\begin{aligned} q_1 &= \sqrt{2\varepsilon} \cos \varphi, & q_2 &= \sqrt{2(c - k\varepsilon)} \cos \psi, \\ p_1 &= \sqrt{2\varepsilon} \sin \varphi, & p_2 &= \sqrt{2(c - k\varepsilon)} \sin \psi. \end{aligned} \quad (4)$$

2. Найдём циклы λ_δ и μ_δ . Из формул (3) для выбранных значений параметров $a = b = 1$, $m = 0$, $k > 0$ с учётом формул (4) получаем, что на торе $T = \{h = c, f = \varepsilon\}$

$$\text{sgrad } H = (k\sqrt{2\varepsilon} \sin \varphi, \sqrt{2(c - k\varepsilon)} \sin \psi, -k\sqrt{2\varepsilon} \cos \varphi, -\sqrt{2(c - k\varepsilon)} \cos \psi). \quad (5)$$

Если $\varepsilon \rightarrow 0$, то этот вектор при $\varphi = \varphi_0$, $\psi = \psi_0$ стремится к вектору

$$\text{sgrad } H|_{(\varphi_0, \psi_0), \varepsilon \rightarrow 0} = (0, \sqrt{2c} \sin \psi_0, 0, -\sqrt{2c} \cos \psi_0). \quad (6)$$

Цикл μ_δ можно выбрать следующим образом:

$$\mu_\delta: \begin{cases} \varphi = \varphi_0, \\ \psi = \psi_0 - t. \end{cases} \quad (7)$$

Действительно, тогда вектор скорости кривой (7) имеет вид

$$\dot{\mu}_\delta = (\dot{q}_1, \dot{q}_2, \dot{p}_1, \dot{p}_2) = (0, \sqrt{2(c - k\varepsilon)} \sin(\psi_0 - t), 0, -\sqrt{2(c - k\varepsilon)} \cos(\psi_0 - t))$$

и, очевидно, при $\varepsilon \rightarrow 0$ и $\varphi = \varphi_0$, $\psi = \psi_0$ стремится к вектору (6), что и требовалось.

Теперь найдём цикл λ_δ . Так как он должен стягиваться при $\varepsilon \rightarrow 0$, то из (4) следует, что он задаётся уравнением $\psi = \text{const}$. Поэтому нужно лишь выбрать на нём правильное направление в соответствии с условием (1). Выбирая

$$\lambda_\delta: \begin{cases} \varphi = \varphi_0 + t, \\ \psi = \psi_0, \end{cases} \quad (8)$$

проверим, что в точке (φ_0, ψ_0) условие (1) выполнено для четвёрки векторов:

$$\begin{cases} \dot{\lambda}_\delta = (-\sqrt{2\varepsilon} \sin \varphi_0, 0, \sqrt{2\varepsilon} \cos \varphi_0, 0), \\ \dot{\mu}_\delta = (0, \sqrt{2(c - k\varepsilon)} \sin \psi_0, 0, -\sqrt{2(c - k\varepsilon)} \cos \psi_0), \\ \text{grad } F = (\sqrt{2\varepsilon} \cos \varphi_0, 0, \sqrt{2\varepsilon} \sin \varphi_0, 0), \\ \text{grad } H = (k\sqrt{2\varepsilon} \cos \varphi_0, \sqrt{2(c - k\varepsilon)} \cos \psi_0, k\sqrt{2\varepsilon} \sin \varphi_0, \sqrt{2(c - k\varepsilon)} \sin \psi_0). \end{cases}$$

Действительно,

$$\omega \wedge \omega(\dot{\lambda}_\delta, \dot{\mu}_\delta, \text{grad } F, \text{grad } H) = 8\varepsilon(c - k\varepsilon) > 0,$$

т. е. базис $(\lambda_\delta, \mu_\delta)$, заданный формулами (8) и (7), положительно ориентирован на граничном торе полнотория, соответствующего лучу δ .

3. Аналогичным образом построим циклы λ_α и μ_α . Задавая цикл μ_α формулами

$$\mu_\alpha: \begin{cases} \varphi = \varphi_0 - s, \\ \psi = \psi_0, \end{cases} \quad (9)$$

получаем, что его вектор скорости

$$\dot{\mu}_\alpha = (\sqrt{2\varepsilon} \sin(\varphi_0 - s), 0, -\sqrt{2\varepsilon} \cos(\varphi_0 - s), 0)$$

при $\varepsilon \rightarrow c/k$ и $\varphi = \varphi_0$, $\psi = \psi_0$ стремится к вектору, пропорциональному вектору

$$\text{sgrad } H|_{(\varphi_0, \psi_0), \varepsilon \rightarrow c/k} = (\sqrt{2kc} \sin \varphi_0, 0, -\sqrt{2kc} \cos \varphi_0, 0),$$

с коэффициентом $1/k > 0$. Далее, определяя цикл λ_α формулами

$$\lambda_\alpha: \begin{cases} \varphi = \varphi_0, \\ \psi = \psi_0 + s, \end{cases} \quad (10)$$

получаем, что он стягивается в точку при $\varepsilon \rightarrow c/k$. Проверка условия (1) для четвёрки векторов

$$\begin{cases} \dot{\lambda}_\alpha = (0, -\sqrt{2(c-k\varepsilon)} \sin \psi_0, 0, \sqrt{2(c-k\varepsilon)} \cos \psi_0), \\ \dot{\mu}_\alpha = (\sqrt{2\varepsilon} \sin \varphi_0, 0, -\sqrt{2\varepsilon} \cos \varphi_0, 0), \\ -\text{grad } F = (-\sqrt{2\varepsilon} \cos \varphi_0, 0, -\sqrt{2\varepsilon} \sin \varphi_0, 0), \\ \text{grad } H = (k\sqrt{2\varepsilon} \cos \varphi_0, \sqrt{2(c-k\varepsilon)} \cos \psi_0, k\sqrt{2\varepsilon} \sin \varphi_0, \sqrt{2(c-k\varepsilon)} \sin \psi_0) \end{cases}$$

даёт

$$\omega \wedge \omega(\dot{\lambda}_\alpha, \dot{\mu}_\alpha, -\text{grad } F, \text{grad } H) = 8\varepsilon(c-k\varepsilon) > 0.$$

Это означает, что базис $(\lambda_\alpha, \mu_\alpha)$, заданный формулами (10) и (9), положительно ориентирован на граничном торе полнотория, соответствующего лучу α .

4. Для найденных базисных циклов находим матрицу склейки:

$$\begin{pmatrix} \lambda_\alpha \\ \mu_\alpha \end{pmatrix} = \begin{pmatrix} 0 & -1 \\ -1 & 0 \end{pmatrix} \begin{pmatrix} \lambda_\delta \\ \mu_\delta \end{pmatrix}. \quad \square$$

Из доказанной леммы 2, в которой рассмотрен один из возможных случаев расположения лучей α и δ , теперь можно вывести утверждение про все остальные случаи.

Теорема 1. Матрицы склейки для круговых молекул точки типа центр-центр в зависимости от взаимного расположения дуг бифуркационной диаграммы (при задании положительной ориентации условием $\omega \wedge \omega(\dot{\lambda}, \dot{\mu}, \bar{N}, \bar{n}) > 0$ и подходящем выборе базисных циклов λ и μ) приведены на рис. 3. В частности, ε -метка равна -1 для случаев 1–10 и 1 для случаев 11–18.

Доказательство. Обозначим гамильтониан и интеграл, рассмотренные в лемме 2, через H_0 и F_0 , а параметр k гамильтониана H_0 (который в лемме 2 предполагался положительным) через k_0 . Тогда гамильтониан H и интеграл F , заданные формулой (2), линейно выражаются через H_0 и F_0 :

$$H = aH_0 + (k - ak_0)F_0, \quad F = mH_0 + (b - mk_0)F_0.$$

Это означает, что с помощью линейного диффеоморфизма

$$(h, f) \rightarrow (\tilde{h}, \tilde{f}) = (ah + (k - ak_0)f, mh + (b - mk_0)f)$$

мы можем перевести лучи α и δ , рассмотренные в лемме 2, в любую другую пару лучей.

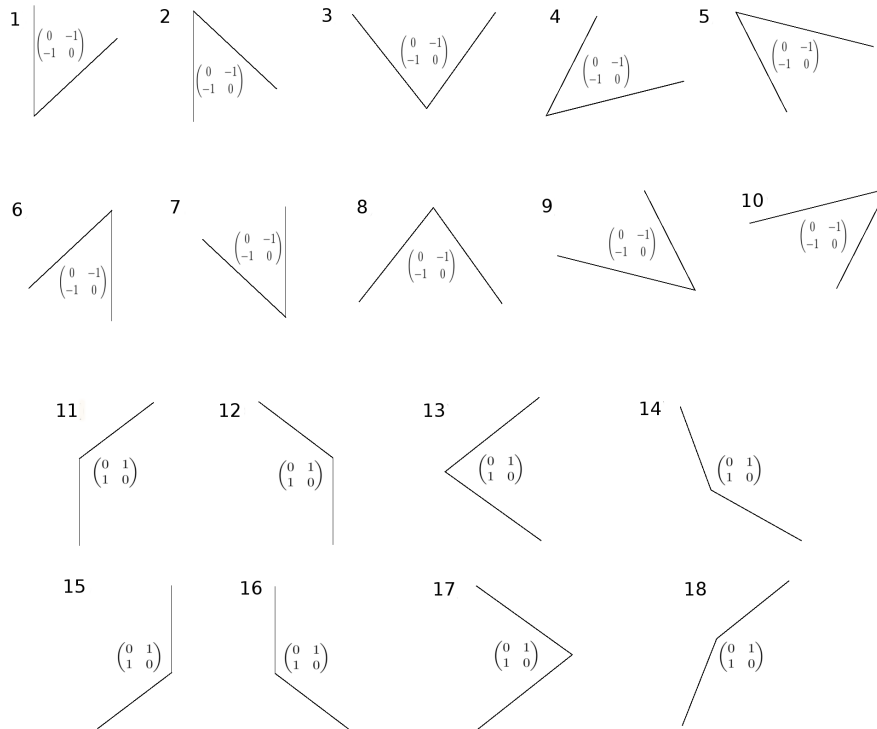


Рис. 3. Матрицы склейки для точки центр-центр

Легко проверяется, что случаям 1–10 на рис. 3 при этом соответствует условие $ak > 0$, которое эквивалентно тому, что ориентация критических окружностей, заданная потоком $\text{sgrad } H$, при этом либо не поменяется, либо поменяется сразу для обоих лучей α и δ . Согласно лемме 1 это означает, что матрица склейки при этом не поменяется.

Аналогично, случаям 11–18 на рис. 3 соответствует условие $ak < 0$, которое эквивалентно тому, что ориентация критических окружностей, заданная потоком $\text{sgrad } H$, поменяется ровно для одного из лучей α или δ . В матрице склейки при этом изменятся знаки. \square

Вопрос о виде матриц склейки в случае точек типа центр-центр также поднимался в работе В. А. Кибкало [6]. В этой работе ориентация базиса (u, v) в $T_x T^2$ задавалась условием $\omega \wedge \omega(\text{grad } H, N, u, v) > 0$, где N — вектор внешней нормали 3-атома.

Теорема 2 (В. А. Кибкало). Пусть точка L — особая точка бифуркационной диаграммы типа центр-центр. Пусть $\varepsilon_i = \pm 1$, $i = 1, 2$, — знаки производных H по направлению пересекающихся дуг γ_i , $i = 1, 2$, соответственно. Тогда допу-

стимые системы координат (λ_i, μ_i) могут быть выбраны такими, что

$$\begin{pmatrix} \lambda_2 \\ \mu_2 \end{pmatrix} = \begin{pmatrix} 0 & \varepsilon_1 \\ \varepsilon_2 & 0 \end{pmatrix} \begin{pmatrix} \lambda_1 \\ \mu_1 \end{pmatrix}.$$

В явном виде матрицы склейки в [6] найдены не были. Теорема 2 задаёт соотношения на допустимые базисы, по которым в дальнейшем возможно построить матрицы склейки.

Автор выражает благодарность своему научному руководителю академику РАН профессору А. Т. Фоменко и доктору физико-математических наук профессору А. А. Ошемкову за постановку задачи и ценные обсуждения в ходе подготовки статьи. Работа выполнена при поддержке гранта РФФИ № 16-01-00170 и гранта НШ-6399.2018.1 (соглашение № 075-02-2018-867).

Литература

- [1] Болсинов А. В., Фоменко А. Т. Интегрируемые гамильтоновы системы. Геометрия, топология, классификация. — Ижевск: РХД, 1999.
- [2] Болсинов А. В., Рихтер П. Х., Фоменко А. Т. Метод круговых молекул и топология волчка Ковалевской // Матем. сб. — 2000. — Т. 191, № 2. — С. 3–42.
- [3] Фоменко А. Т. Топология поверхностей постоянной энергии интегрируемых гамильтоновых систем и препятствия к интегрируемости // Изв. АН СССР. Сер. матем. — 1986. — Т. 50, № 6. — С. 1276–1307.
- [4] Фоменко А. Т., Цишанг Х. О топологии трёхмерных многообразий, возникающих в гамильтоновой механике // Докл. АН СССР. — 1987. — Т. 294, № 2. — С. 283–287.
- [5] Фоменко А. Т., Цишанг Х. О типичных топологических свойствах интегрируемых гамильтоновых систем // Изв. АН СССР. — 1988. — Т. 52, № 2. — С. 378–407.
- [6] Kibkalo V. Topological analysis of the Liouville foliation for the Kovalevskaya integrable case on the Lie algebra $\mathfrak{so}(4)$ // Lobachevskii J. Math. — 2018. — Vol. 39, no. 9. — P. 1331–1334.